



بررسی تجربی اثر دما در اکستروژن تیتانیم خالص نانو ساختار تولید شده به روش ایکپ

محمد افتخاری^۱، قادر فرجی^{۲*}، امید شاپورگان^۳، مجید بنی‌اسدی^۴

۱- دانشجوی دکترا، مهندسی مکانیک، دانشگاه تهران، تهران

۲- استادیار، مهندسی مکانیک، دانشگاه تهران، تهران

۳- دانش آموخته کارشناسی ارشد، مهندسی مکانیک، دانشگاه تهران، تهران

۴- استادیار، مهندسی مکانیک، دانشگاه تهران، تهران

* تهران، صندوق پستی ghfaraji@ut.ac.ir، ۱۴۳۹۵-۵۱۵

چکیده

امروزه پژوهشگران زیادی به روش‌های تغییرشکل پلاستیک شدید برای افزایش خواص فیزیکی و مکانیکی ماده ضمن دست‌یابی به ساختار فوق ریزدانه پرداخته‌اند. روش‌های تغییرشکل پلاستیک شدید با اعمال کرنش زیاد به ماده ضمن حفظ ابعاد اولیه قطعه سبب تولید مواد فوق ریزدانه و نانوساختار می‌شوند. فرآیند فشرار در کanal زاویدار مساوی (ایکپ) یکی از روش‌های بسیار مؤقتی‌آمیز برای کاربردهای صنعتی است. در روش ایکپ، در استفاده از میله‌های نازک با طول زیاد محدودیت وجود دارد. در پژوهش حاضر ترکیب فرآیند اکستروژن و ایکپ بر تیتانیم خالص (گرید 2) مورد مطالعه قرار گرفت. تیتانیم با توجه به نسبت استحکام به وزن بالایی که دارد به‌وقور در هوافضا و سایر صنایع کاربرد دارد. استفاده از فرآیند ترکیبی سبب تولید میله‌های فوق ریزدانه با طول بلند و قطر کم می‌شود. هدف اصلی در این پژوهش بررسی اثر دما در فرآیند اکستروژن بر نمونه‌های تیتانیومی فوق ریزدانه است. میله‌های تیتانیومی ابتدا 4 پاس در دمای 400 درجه سانتی‌گراد تحت فرآیند ایکپ قرار گرفته و سپس در پنج دمای 300، 350، 400، 450 و 500 مانع گراد تحت فرآیند اکستروژن قرار گرفتند. نتایج نشان داد انجام فرآیند اکستروژن در دمای 300 درجه سانتی‌گراد سبب دست‌یابی به بهترین خواص مکانیکی شد. خواص مکانیکی حاصل، معادل خواص مکانیکی تیتانیوم گرید 5 به دست آمد که ماده گران‌تری نسبت به تیتانیوم خالص است و دارای میانی جهت استفاده در کاربردهای پزشکی است. بهبود خواص مکانیکی شامل استحکام و سختی بود، همچنین ریزساختار بسیار همگن و نانو ساختار با اندازه‌دانه‌های از 80-200 نانو متر به دست آمد.

اطلاعات مقاله

مقاله پژوهشی کامل

دریافت: 08 بهمن 1395

پذیرش: 26 بهمن 1395

ارائه در سایت: 14 فروردین 1396

کلید واژگان:

تغییر شکل پلاستیک شدید

ایکپ

اکستروژن

تیتانیم

خواص مکانیکی

دما

Experimental investigation of the effect of temperature in extrusion process of ECAPed nanostructured Titanium

Mohammad Eftekhari¹, Ghader Faraji^{1*}, Omid Shapoorgan¹, Majid Baniassadi¹

1- Department of Mechanical Engineering, Tehran University, Tehran, Iran.

* P.O.B. 14395-515 Tehran, Iran, ghfaraji@ut.ac.ir

ARTICLE INFORMATION

Original Research Paper

Received 27 January 2017

Accepted 14 February 2017

Available Online 03 April 2017

Keywords:

SPD

ECAP

Extrusion

Titanium

Mechanical properties

Temperature

ABSTRACT

Today, many researchers focus on proposing severe plastic deformation (SPD) methods due to the superior mechanical and physical properties of achieved ultra-fine grain material. In all SPD methods a large strain is implied without any substantial dimensional change of work piece to generate UFG and even nanograin (NG) materials. Equal Channel Angular Pressing (ECAP) is one of the most successful techniques for industrial applications. Using a long and thin rod is limited in ECAP process. In the present study, a combined process composed of ECAP and Extrusion processes is used on Titanium grade 2. Titanium is extensively used in aviation and other industries because of its high strength to weight value. Using the combined process leads to production of long length and thin nanostructured rod. The main goal of this process is evaluation of the temperature in Extrusion process on nanostructures Titanium rods. At first, Titanium rods were processed for 4 passes by ECAP process at 400°C and then they were processed by Extrusion process at 5 different temperatures including 300, 350, 400, 450 and 500°C. The result showed that the best mechanical properties achieved for the specimen were extruded at 300°C. Strength and hardness were severely improved. Also, the microstructure was very homogenous and refined. The mechanical properties of titanium grade 2 after combined process were equivalent to titanium grade 5 which is used in medical applications and is expensive.

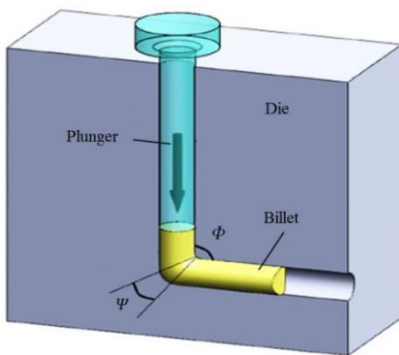
سبب شده تا از آلیاژهای تیتانیوم که اغلب دارای عناصر مضر (مانند آلومینیوم و وانادیوم) از نظر بایوپی برای سلامت انسان است به جای خود تیتانیوم خالص استفاده شود. با بهبود ریزساختار می‌توان خواص مکانیکی تیتانیوم خالص تجاری را تا حد قابل استفاده‌ای افزایش داد. بهبود ریزساختار عموماً با انجام

امروزه تیتانیوم خالص تجاری، کاربرد فراوانی در محیط‌های با قدرت خورندگی زیاد و مصارف بایو (نظیر ایمپلنت‌ها) دارد. استحکام مکانیکی پایین تیتانیوم خالص تجاری، یکی از موانع اصلی در استفاده رایج از آن‌هاست و این مسئله

۱- مقدمه

برای ارجاع به این مقاله از عبارت ذیل استفاده نمایید:

M. Eftekhari, Gh. Faraji, O. Shapoorgan, M. Baniassadi, Experimental investigation of the effect of temperature in extrusion process of ECAPed nanostructured Titanium, *Modares Mechanical Engineering*, Vol. 17, No. 4, pp. 52-60, 2017 (in Persian)



شکل ۱ نمای شماتیک از فرآیند ایکپ و زوایای Φ و Ψ

شکل ۱ نمای شماتیک از فرآیند ایکپ و زوایای Φ و Ψ

سانتی گراد در تمام نرخ کرنش‌ها دچار شکست شد. پژوهش‌های دیگری مانند [16,15] گویای آن بود که انجام فرآیند ایکپ در دمای بالا مانند 450 درجه سانتی گراد و در قالب ایکپ 90 درجه توانایی ایجاد ساختار فوق ریزدانه بر تیتانیم خالص تجاری را دارد. لو و همکاران [17] با مطالعه انجام فرآیند ایکپ تیتانیم خالص تجاری در چند دمای مختلف مشاهده کردند که افزایش دمای انجام ایکپ به افزایش اندازه دانه‌ها و کاهش استحکام منجر شد. در مواد با درصد ازدیاد طول کم گزینه دیگری که به جای افزایش دمای ایکپ یا ازدیاد زاویه قالب وجود دارد استفاده از فشار پشتی^۸ است که با افزایش فشار هیدرولاستاتیک موجب بهبود خواص مکانیکی قطعه می‌شود [18]. سان و همکاران [19] تأثیر سه نوع مختلف فشار پشتی متقابل در فرآیند ایکپ در دمای 450 درجه سانتی گراد را بر خواص تیتانیم خالص ارزیابی کردند. زاویه Φ و همکاران [20] موفق شدند تا تیتانیم خالص گرید ۱ را در دمای اتاق و در قالب ایکپ 120 درجه در 8 پاس ایکپ کنند و اندازه دانه نمونه را از 23 میکرومتر به 200 نانومتر و مقدار تنفس تسیلیم و استحکام نهایی را به ترتیب از 275 و 407 مگاپاسکال به 710 و 790 مگاپاسکال برسانند. زاویه Φ و همکاران [21] توانستند با موفقیت تیتانیم خالص تجاری گرید ۱ را در دمای اتاق، ولی این بار در قالب 90 درجه و در 4 پاس ایکپ کنند و اندازه دانه را از 25 میکرومتر به 150 نانومتر و مقدار استحکام نهایی را از 485 به 765 مگاپاسکال برسانند. جاگر و همکاران [22] موفق شدند تیتانیم خالص تجاری گرید 2 را در 4 پاس در دمای اتاق در قالب ایکپ 90 درجه و با اعمال فشار پشتی بالا در حین انجام فرآیند ایکپ کنند و اندازه دانه را به 150 نانومتر برسانند.

برخی از محققین به مطالعه تأثیر انجام خود فرآیند اکستروژن روی خواص مکانیکی تیتانیم خالص تجاری 2 پرداخته‌اند؛ پاچلا و همکاران [23] تیتانیم خالص گرید 2 را با اعمال کرنش واقعی 5.47 در 20 پاس و با کاهش سطح مقطع میانگین 36.2%، در 7 پاس اول و 15.6% در 13 پاس بعدی در دمای اتاق، اکستروژن هیدرولاستاتیک کردند و توانستند اندازه دانه را از 33 میکرومتر به 47 نانومتر و استحکام نهایی را از 546 به 1320 مگاپاسکال برسانند. توبولسکی و همکاران [24] تیتانیم خالص گرید 2 را با اعمال کرنش کل 3.9 در 10 پاس و با کاهش سطح مقطع کل 51.02% در دمای اتاق، اکستروژن هیدرولاستاتیک کردند و توانستند اندازه دانه را به 62 نانومتر و استحکام نهایی را از 1144 به 480 مگاپاسکال و تنفس تسیلیم را از 360 به 1030 مگاپاسکال برسانند. توبولسکی به این نتیجه رسید که در دمای 1030 به وجود آمده در تیتانیم خالص با افزایش اندازه بیلت بیشتر می‌شود البته به شرط آن که کرنش کل (تجمعی) مناسبی اعمال شود.

⁸ Back Pressure

روش‌های موسوم به روش‌های تغییر شکل پلاستیک شدید^۱ حاصل می‌شود [1]. روش‌های تغییر شکل پلاستیک شدید یکی از روش‌های تولید مواد فوق ریزدانه و نانوساختار است که در آن‌ها کرنش‌های شدیدی به ماده اعمال می‌شود و ریزساختار و خواص مکانیکی ماده بهبود قابل توجهی پیدا می‌کند [2]. برخی از روش‌های تغییر شکل پلاستیک شدید که امروزه کاربرد زیادی دارند عبارت است از: روش فشار در کانال زاویه‌دار مساوی^۲ [3]، روش فشار در کانال زاویه‌دار لوله‌ای^۳ [4]، پیچش فشار بالا^۴ [5]، نورد اتصال تجمعی^۵ [6]، کنگره‌ای و صاف کردن متناوب^۶ [7] و انبساط و روزنرانی متناوب^۷ [8]. فرآیند فشار در کانال زاویه‌دار مساوی یا ایکپ یکی از روش‌های متداول تغییر شکل پلاستیک شدید که ضمن سادگی فرآیند دارای قابلیت صنعتی‌سازی نیز است. این روش برای نخستین بار توسط سیگال و همکاران در دهه 1970 و در کشور روسیه استفاده شد [9]. نمای شماتیک فرآیند ایکپ در شکل ۱ مشهود است. قطعه تحت فشار سنبه با عبور از گوشه (قسمت زاویه شکل) کانال زاویه‌دار با مقاطع مساوی تحت تغییر شکل برشی شدید قرار می‌گیرد و ریزدانه می‌شود، سپس از کانال خروجی با همان قطر اولیه که وارد قالب ایکپ شده بیرون می‌آید. هنگامی که نمونه تحت فشار خارجی سنبه از کانال زاویه‌دار عبور داده می‌شود کرنش کلی فرآیند از رابطه (1) محاسبه می‌شود که پارامترهای آن در شکل ۱ مشخص شده‌اند و N تعداد پاس با دفعات انجام فرآیند ایکپ است [10].

$$\varepsilon = \frac{N}{\sqrt{3}} [2\cot\left(\frac{\phi}{2} + \frac{\psi}{2}\right) + \psi \cosec\left(\frac{\phi}{2} + \frac{\psi}{2}\right)] \quad (1)$$

تلقيق فرآیند ایکپ با یکی از روش‌های شکل دهی مانند اکستروژن، نورد و فوج برای بهبود بیشتر خواص مکانیکی و ریزساختاری تیتانیم خالص تجاری در برخی از پژوهش‌های پیشین مورد مطالعه قرار گرفته است؛ ولادمیر و همکاران [11] با انجام ایکپ بر تیتانیم خالص گرید ۱ در 8 پاس در قالب ایکپ 90 درجه و در دمای 450 درجه سانتی گراد و سپس با انجام اکستروژن سرد (کاهش سطح مقطع متعاقباً با 75%) فقط و فقط بر نمونه 8 پاس ایکپ شده تنفس تسیلیم و استحکام نهایی را به ترتیب از 380 و 460 مگاپاسکال به 970 و 1050 مگاپاسکال افزایش دادند. در پژوهشی دیگر دانگ و همکاران [12] اندازه دانه را پس از انجام فرآیند ایکپ بر تیتانیم خالص تجاری در 5 پاس و در دمای 450 درجه سانتی گراد از 41.6 میکرومتر به 0.96 میکرومتر رسانند؛ سپس با انجام اکستروژن سرد در دمای اتاق (کاهش میکرومتر رسانند؛ سپس با انجام اکستروژن سرد در دمای اتاق (کاهش سطح مقطع معادل با 25.5%) فقط و فقط بر نمونه 5 پاس ایکپ شده استحکام تسیلیم را از 202 به 708 مگاپاسکال و استحکام نهایی را از 292 به 791 مگاپاسکال رسانند.

راب و همکاران [13] با مطالعه تأثیر فرآیند ایکپ (با استفاده از قالب 120 درجه) بر خواص تیتانیم خالص تجاری به این نتیجه رسیدند که کاهش دما سبب افزایش فشار هیدرولاستاتیک در تاکیه تغییر شکل و متعاقباً کاهش اندازه دانه‌ها می‌شود. آن‌ها مشاهده کردند که با رساندن دمای ایکپ از 300 به 200 درجه سانتی گراد فشار هیدرولاستاتیک از 510 به 640 مگاپاسکال و اندازه دانه از 0.25 به 0.21 میکرومتر رسید. سمتین و همکاران [14] مشاهده کردند که تیتانیم خالص گرید 2 در قالب ایکپ 2 درجه و در دمای 25 درجه

¹ Severe Plastic Deformation (SPD)

² Equal Channel Angular Pressing (ECAP)

³ Tube Channel Angular Pressing (TCAP)

⁴ High Pressure Torsion (HPT)

⁵ Accumulative Roll Bonding (ARB)

⁶ Repetitive Corrugation and Straightening (RCS)

⁷ Cyclic Expansion Extrusion (CEE)



Fig. 2 Internal view of the used ECAP die

شکل 2 نمای داخلی قالب ایکپ مورد استفاده

2-آزمون کشش

در این پژوهش 4 نمونه آزمون کشش از قطعات ایکپ شده در 1، 2، 4 و 6 پاس در دمای 400 درجه سانتی گراد استخراج و 5 نمونه آزمون کشش دیگر نیز از قطعات 4 پاس ایکپ و سپس اکستروژن شده در دمای 300، 350، 400 و 500 سانتی گراد استخراج شد. در آزمون کشش برای اندازه گیری خواص مکانیکی در جهت طولی از نمونه های دمی مشهود در شکل 4 و دستگاه آزمون کشش سنتام³ و نرخ کرنش 0.001 s^{-1} استفاده شد.

2-3- سختی سنجی

نمونه های مناسب برای آزمون میکرو سختی سنجی از بیلت های ایکپ و سپس اکستروژن شده در 5 دمای مورد بررسی برای اندازه گیری مقدار سختی جدا



Fig. 3 Schematic illustration of the used extrusion die

شکل 3 نمای شماتیک از قالب اکستروژن استفاده شده



شکل 4 نمونه های تهیه شده برای آزمون کشش از قطعات اکستروژن شده در دمای مشخص

در پژوهش حاضر برای نخستین بار از اکستروژن گرم پس از انجام فرآیند ایکپ استفاده شده که مزیت آن نسبت به اکستروژن سرد استفاده از نیروی کمتر برای تغییر شکل و جلوگیری از افت شدید درصد از دیاد طول است. در پژوهش پیشین [25] به تأثیر انجام اکستروژن تنها در دمای 400 درجه سانتی گراد پس از انجام هر پاس ایکپ پرداخته شد و بهترین خواص مکانیکی برای قطعه 4 پاس ایکپ و سپس اکستروژن شده به دست آمد. در پژوهش حاضر فرآیند ایکپ در دمای 400 درجه سانتی گراد بر تیتانیم خالص تجاری گردید 2 انجام شد، سپس برای نخستین بار فرآیند اکستروژن گرم (با کاهش سطح مقطع 75% یا رساندن قطر مقطع به نصف) در پنج دمای 300، 350، 400، 450 و 500 سانتی گراد بر نمونه 4 پاس ایکپ شده برای بررسی تأثیر دمای اکستروژن گرم انجام شد. درنهایت با انجام آزمون های تجربی (شامل آزمون های کشش، میکروسختی سنجی، میکروسکوپ نوری و اس ای ام) میزان تغییر خواص مکانیکی و ریز ساختاری نمونه ها به دست آمد و با نتایج پژوهش های دیگر و خواص تیتانیم گردید 5 (در مصارف پژوهشی کاربرد داشته و گران قیمت است) مقایسه شد. یکی از علل انجام فرآیند اکستروژن پس از ایکپ علاوه بر حصول به خواص مکانیکی بالاتر این است که چون در قالب های ایکپ محدودیت استفاده از بیلت های با قطر کم و طول زیاد (مانند پژوهش کنونی) که هدف تولید بیلت های نانوساختار به قطر 5 میلی متر و طول زیاد بود) به دلیل کمانش و شکست سنبه وجود دارد و امکان تولید پیوسته فراهم نیست؛ بنابراین ابتدا یک قطعه با قطر بزرگ تر از مقدار نامی را ایکپ می کنند و سپس با اکستروژن قطر آن را به اندازه نامی می رسانند که در جریان این فرآیند طول قطعه افزایش و قطر آن کاهش می یابد و به این طریق دیگر نیازی به وارد کردن این طول بلند و قطر کم در قالب ایکپ نیست.

2-آزمون های تجربی

2-1- فشار در کanal زاویه دار مساوی (ایکپ) و اکستروژن

در این بررسی بیلت هایی از جنس تیتانیم خالص تجاری گردید 2 با قطر 10 میلی متر و طول 70 میلی متر جهت انجام فرآیند ترکیبی آماده شد. تصویر قالب ایکپ استفاده شده در شکل 2 مشهود و بنا به شکل 1، اندازه پارامترهای قالب $\varphi=90^\circ$ و $\psi=0^\circ$ است. از آن جاکه برای پارامترهای قالب به کار رفته در این پژوهش بنا به مراجعی مانند [21] کمترین دمای گزارش شده برای ایکپ تیتانیم خالص گردید 2 در مطالعات پیشین، دمای حوالی 350-450 درجه سانتی گراد بود؛ بنابراین دمای حد وسط این بازه یعنی 400 درجه سانتی گراد برای انجام ایکپ انتخاب شد، زیرا از سویی در پایین تر از این دما خطر افزایش نیرو و متعاقباً کمانش سنبه و یا احتمال ترک خوردن قطعه وجود داشت و در دمای های بالاتر از آن هم وقوع درشت دانگی و افت استحکام محتمل بود. برای کاهش اصطکاک بین بیلت و دیواره قالب از روان کار مولیبدن دی سولفید¹ استفاده شد [26]. ابتدا 4 نمونه آزمایشگاهی از جنس مورد مطالعه در 1، 2، 4 و 6 پاس، در دمای 400 درجه سانتی گراد و با سرعت پرس 10 میلی متر بر دقیقه ایکپ شدند. مشاهده شد که قطعه 4 پاس ایکپ شده دارای بهترین خواص مکانیکی است؛ بنابراین این نمونه برای بررسی اثر دمای اکستروژن گرم انتخاب شد. در ادامه کار بر نمونه 4 پاس ایکپ شده اکستروژن گرم در 5 دمای 300، 350، 400، 450 و 500 سانتی گراد (جهت بررسی اثر دما) با اعمال کاهش سطح مقطع 75% (رساندن قطر به نصف) در تنها یک مرحله انجام گرفت. تصویر قالب اکستروژن مورد استفاده در شکل 3 مشهود است.

² SANTAM¹ MoS₂



Fig. 6 Used SEM devices

شکل 6 دستگاه SEM استفاده شده

بیشتر می‌گردد [28]. در شکل 7 نیز مشهود است که استحکام تسلیم و نهایی با افزایش تعداد پاس‌های ایکپ و ریز شدن بیشتر دانه‌ها افزایش پیدا می‌یابد.

در رابطه (2)، d اندازه میانگین دانه‌ها، σ_y استحکام تسلیم، σ_0 و K ثابت‌های مربوط به ماده هستند.

$$\sigma_y = \sigma_0 + \frac{K}{\sqrt{d}} \quad (2)$$

تحقیقات نشان داده است که در اندازه دانه‌های کوچکتر از حدود 20 نانومتر پیش‌بینی هال‌بیج دیگر صادق نیست و استحکام با ریزتر شدن دانه‌ها کاهش

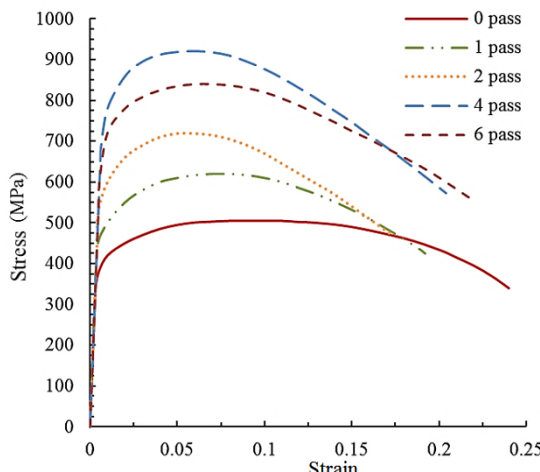


Fig. 7 نمودار تنش-کرنش برای قطعات ایکپ شده با تعداد پاس معین در دمای 400 درجه سانتی‌گراد

شکل 7 نمودار تنش-کرنش برای قطعات ایکپ شده با تعداد پاس معین در دمای 400 درجه سانتی‌گراد

جدول 2 خواص مکانیکی بدست آمده از شکل 7

Table 2 Obtained mechanical properties from figure. 7

درصد ازدیاد طول (%)	تنش نهایی (MPa)	تنش تسلیم (MPa)	نام نمونه
24	505	341	0 پاس ایکپ (حالت اولیه)
19.2	620	440	1 پاس ایکپ
17.3	719	528	2 پاس ایکپ
20.4	921	682	4 پاس ایکپ
22	840	605	6 پاس ایکپ

شد و سختی‌سنجی بعد از آماده‌سازی سطح نمونه‌ها و مانت کردن با استفاده از دستگاه میکروسختی‌سنجی ویکرز انجام گرفت. در این آزمون برای اعمال اثر سنجه نیروی 200 گرم در زمان 10 ثانیه اعمال شد. تصویر دستگاه میکروسختی‌سنجی ویکرز مورد استفاده در شکل 5 مشهود است.

2-4- متالوگرافی نوری

برای مشاهده میزان تغییرات ریزساختاری بعد از انجام فرآیند نمونه‌های 4 پاس ایکپ و سپس اکستروژن شده در 5 دمای مورد مطالعه پس از آنیل کردن مقطع زده شدند و بعد از انجام آماده‌سازی (سنباذهزی)، پولیش و حکاکی با استفاده از میکروسکوپ نوری مورد ارزیابی قرار گرفتند. نمونه‌ها عمود بر امتداد اکستروژن مقطع زده شدند. عملیات سنباذهزی با استفاده از کاغذهای سیلیسیم کار باید انجام شود. نمونه‌ها با انجام پولیش مکانیکی و استفاده از محلول آلومینا آماده‌سازی شدند. برای آشکارسازی سطح نمونه‌ها از محلول با ترکیب شیمیایی مندرج در جدول 1 استفاده شد [27]. در نهایت تصاویر ریزساختار با استفاده از میکروسکوپ نوری مجهر به دوربین دیجیتال به دست آمد. در ادامه کار با هدف بررسی بیشتر تغییرات ریزساختاری از تصاویر به دست آمده از میکروسکوپ الکترونی روبشی یا اس‌ای‌ام¹ استفاده شد. در این مرحله از دستگاه هیتاچیس² (شکل 6) با دقیق 5 نانومتر و ماکریزم ولتاژ 30 کیلوولت استفاده شد.

3- نتایج و بحث

3-1- خواص مکانیکی به دست آمده از آزمون کشش

در شکل 7 نمودارهای به دست آمده پس از انجام آزمون کشش بر نمونه‌های ایکپ شده با تعداد پاس معین در دمای 400 درجه سانتی‌گراد آورده شده است. خواص مکانیکی استخراج شده از شکل 7 در جدول 2 درج گردیده است. به محض انجام فرآیند ایکپ بر نمونه بنا به تصاویر ریزساختاری تهیه شده که در بخش 3-3 آورده شده است قطعه ریزدانه می‌شود. بنا به معادله معروف (2) که معادله هال‌بیج³ نام دارد، هر چه دانه‌ها ریزتر شود استحکام



Fig. 5 Used device for measuring Vickers microhardness number

شکل 5 دستگاه میکروسختی‌سنجی ویکرز مورد استفاده

جدول 1 مشخصات محلول اج مورد استفاده

Table 1 Specifications of the used etching solution

H ₂ O	HF	HNO ₃	ماده شیمیایی
88	2	10	مقدار (درصد)

¹ SEM² Hitachi³ Hall-Petch relation

اکستروژن بر نمونه 4 پاس ایکپ شده مشاهده گردید که استحکام نسبت به قطعه خام اولیه افزایش، ولی درصد ازدیاد طول کاهش یافت که این روال تغییر خواص مکانیکی مشابه پژوهش‌های [12,11] بود، زیرا با انجام اکستروژن، دانه‌ها در جهت اکستروژن، کشیده‌تر شده و چگالی نابهجهای‌ها هم افزایش می‌یابد که این مسئله سبب افزایش استحکام و کاهش درصد ازدیاد طول می‌شود. با توجه به شکل 8 مشهود است که استحکام با افزایش دمای اکستروژن کاهش، ولی درصد ازدیاد طول افزایش می‌یابد که دلیل این امر می‌تواند وقوع تبلور مجدد یا درشت‌دانه‌شندن فلز تحت تأثیر دمای بالاتر انجام فرآیند اکستروژن گرم باشد. خواص مکانیکی (شامل استحکام تسلیم، استحکام نهایی و درصد ازدیاد طول) استخراج شده از نمودار نشان-کرنش مشهود در شکل 8 در جدول 3 آورده شده است.

با توجه به شکل 8 و جدول 3 مشاهده شد که نمونه اکستروژن شده در دمای 500 درجه سانتی‌گراد دارای بیشترین درصد ازدیاد طول (البته پس از نمونه خام اولیه در جدول 2) و کمترین استحکام در بین سایر نمونه‌ها بود. همچنین نمونه اکستروژن شده در دمای 300 درجه سانتی‌گراد بیشترین استحکام تسلیم و نهایی را در بین سایر نمونه‌ها داشت که پایین بودن احتمال تبلور مجدد و درشت‌دانگی در نتیجه دمای مناسب مهمترین دلیل بروز این رفتار فرآیند بود. در جریان پژوهش حاضر با انجام اکستروژن گرم در دمای 300 درجه بر نمونه 4 پاس ایکپ شده استحکام تسلیم و استحکام نهایی نسبت به نمونه خام اولیه به ترتیب از 787 به 341 مگاپاسکال و از 505

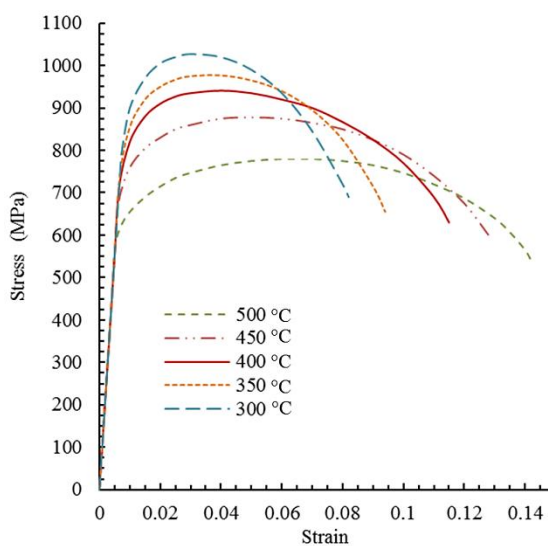


Fig. 8 Stress-Strain curve for ECAPed and then hot Extruded samples at different temperatures

شکل 8 نمودار نشان-کرنش برای قطعات ایکپ و اکستروژن گرم شده در دمای مختلط

جدول 3 خواص مکانیکی به دست آمده از شکل 8

Table 3 Obtained mechanical properties from figure. 8

نمونه	استحکام درصد ازدیاد طول (%)	نشان نهایی (MPa)	نشان تسلیم (MPa)	دما (°C)
8.2	1027	787	300	
9.4	977	738	350	
11.5	941	711	400	
12.8	878	655	450	
14.2	780	572	500	

پیدا می‌کند [29]. در بیشتر روش‌های تغییر شکل پلاستیک شدید، اندازه دانه‌ها بزرگ‌تر از 20 نانومتر به دست می‌آید؛ بنابراین رابطه هال-پچ برای این موارد قابل استناد است. با انجام تغییر شکل پلاستیک شدید، همراه با کاهش اندازه دانه‌ها، اتمهای محلول، در مرز دانه‌ها تجمع می‌یابند و استحکام ماده را افزایش می‌دهند؛ زیرا این اتمهای با ایجاد موانع در برای حرکت نابهجهای‌ها سبب افزایش استحکام می‌شوند. کرنش سختی^۱ عامل دیگر افزایش استحکام در مواد فوق ریزدانه است. چگالی نابهجهای‌ها، جاهای خالی و مرزدانه‌های جدید با انجام تغییر شکل پلاستیک شدید افزایش خواهد یافت. تکثیر این عیوب در ماده به افزایش نشان-کرنش سختی منجر خواهد شد. فشار هیدرواستاتیک موجود در روش‌های تغییر شکل پلاستیک شدید اثر مهمی در افزایش استحکام مواد فوق ریزدانه دارد، زیرا تمرکز جاهای خالی در حین تغییر شکل پلاستیک با وجود فشار هیدرواستاتیک افزایش پیدا می‌کند و نفوذ نابهجهای‌ها در جاهای خالی به سختی انجام می‌گیرد و فرآیند حذف نابهجهای‌ها کند می‌شود. سرانجام نرخ کرنش سختی با کندشدن فرآیند حذف نابهجهای‌ها افزایش می‌یابد [30].

استحکام به محض انجام فرآیند ایکپ بر نمونه‌ها بنا به دلایل یادشده پیشین و نیز با توجه به شکل 7 دچار افزایش و درصد ازدیاد طول دچار کاهش شد. تغییر شکل برشی خالص در قطعه پس از انجام پاس اول ایکپ رخ می‌دهد و دانه‌ها در امتداد طولی کشیده‌تر می‌شوند و دانه‌هایی با مرزدانه‌های دارای زاویه کم به وجود می‌آیند که موجب کاهش درصد ازدیاد طول می‌شود [31] در شکل 7 نیز قابل مشاهده است که در پاس‌های 1 و 2 استحکام دچار افزایش، ولی درصد ازدیاد طول دچار کاهش شده است. تحقیقات در دمای‌های مختلف ایکپ نشان داده که بعد از انجام نخستین پاس فرآیند ایکپ دوقلویی‌های زیادی در جهت کشیده شدن دانه‌ها حضور دارند. پس از انجام چند پاس دیگر مشاهده می‌شود که درصد ازدیاد طول و استحکام همزمان و با هم افزایش می‌یابند که دلیل این امر افزایش میزان درصد مرزدانه‌های با زاویه زیاد، بهبود همگنی ریزساختار و کم شدن پنهانی باندهای برش است [31]. در این پژوهش نیز مشاهده شد که بنا به شکل در نمونه‌های ایکپ شده در 4 و 6 پاس هم درصد ازدیاد طول و هم استحکام نسبت به پاس‌های 1 و 2 افزایش یافت. بنا به مطالعاتی مانند [32] و [33] پس از انجام 6-4 پاس فرآیند ایکپ در رنج دمای 400-450 درجه سلسیوس (بسته به اندازه دانه اولیه و مسیر انجام ایکپ) بر تیتانیم خالص تجاری ماده از نظر مکانیکی و اندازه دانه به حد اشباع خود می‌رسد، همچنین مشاهده شد که منحنی‌ها و خواص مکانیکی (بهخصوص درصد ازدیاد طول) نمونه‌ها پس از انجام 4 و 6 پاس ایکپ به هم نزدیک شدند. دلیل این که استحکام نمونه 6 پاس ایکپ شده از نمونه 4 پاس کمتر بود می‌توانست ناشی از تغییر مکانیزم تغییر شکل پلاستیک با ریزتر شدن بیشتر دانه‌ها و رسیدن به اندازه دانه اشباع همراه با تأثیر همزمان دمای 400 درجه سانتی‌گرادی فرآیند ایکپ باشد.

از آن جا که بنا به شکل 7 و جدول 2 بهترین خواص از نظر استحکام و درصد ازدیاد طول برای نمونه 4 پاس ایکپ شده به دست آمد؛ بنابراین این نمونه برای بررسی‌های آلتی مربوط به تأثیر دمای اکستروژن گرم انتخاب شد. به این صورت که نمونه 4 پاس ایکپ شده در 5 دمای 300، 350، 400، 450 و 500 سانتی‌گراد مورد اکستروژن گرم قرار گرفت. که نمودار نشان-کرنش به دست آمده از این بررسی در شکل 8 آورده شده است. به محض انجام

¹ Strain Hardening

مقایسه خواص مکانیکی این سه نمونه گویای آن بود که روش ترکیبی ایکپ و اکستروژن استحکام را به طرز قابل توجهی بیشتر از انجام تنها اکستروژن گرم افزایش می‌دهد، زیرا با وقوع تغییر شکل پلاستیکی شدید در فرآیند ایکپ ریزدانگی بیشتری حاصل شده که موجب افزایش بیشتر استحکام شده است.

2-3- نتایج سختی سنجی

مقادیر میکروسختی به دست آمده پس از انجام آزمون میکروسختی ویکرز در راستای ضخامت نمونه‌های ایکپ شده در دمای 400 درجه سلسیوس (تا 6 پاس)، در شکل 9 و نتایج میکروسختی نمونه‌های ایکپ و سپس اکستروژن شده در دماهای مختلف در شکل 10 آورده شده است. پس از انجام فرآیند ایکپ قطعه ریزدانه می‌شود؛ بنا به توضیحات بخش 1-3 و با توجه به رابطه (3) که به معادله هال پچ برای سختی معروف است سختی با ریز شدن دانه‌ها افزایش پیدا می‌کند. در این معادله d اندازه میانگین دانه‌ها، H_0 سختی، K' ثابت‌های مربوط به ماده هستند [28].

$$H = H_0 + \frac{K'}{\sqrt{d}} \quad (3)$$

بنا به شکل 9 سختی قطعه پس از انجام ایکپ به بیش از دو برابر آن در حالت خام اولیه افزایش پیدا کرد، به طوری که در قطعه 4 پاس ایکپ شده مقدار سختی اندازه‌گیری شده برابر با H_V 209.9 بود در حالی که مقدار سختی قطعه خام اولیه H_V 81.85 بود. بنا به شکل 10 میکروسختی نمونه ایکپ و سپس اکستروژن شده در دمای 300 درجه سانتی‌گراد بیشتر از نمونه‌های دیگر بود و با نتایج مربوط به آزمون کشش تطابق داشت (مقدار سختی این نمونه برابر با 231 H_V بود، در حالی که سختی قطعه خام اولیه H_V 81.85 بود). مقدار سختی برای نمونه‌های اکستروژن شده در دماهای بالاتر کاهش پیدا کرد و کمترین مقدار آن برای دمای 500 درجه سانتی‌گراد و برابر با H_V 201 به دست آمد. مسئله اندازه دانه یکی از دلایل بروز تغییرات در مقدار میکروسختی است و ماده با ساختار دانه‌بندی ریزتر سختی بیشتری نیز خواهد داشت. زانگ و همکاران [35] با بررسی فرایند ایکپ بر تیتانیم خالص تجاری نشان دادند که افزایش سختی مربوط به افزایش چگالی نایه‌جایی‌ها، مکانیزم دوقطبی و کرنش سختی است.

3- نتایج متالوگرافی نوری

تصاویر میکروسکوپ نوری مجهر به دوربین دیجیتال از ریزساختار نمونه خام

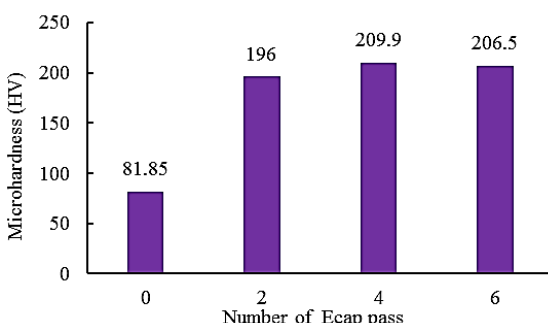


Fig. 9 Vickers hardness number plot for hot ECAPed samples at 400°C with specific pass number

شکل 9 نمودار عدد سختی ویکرز برای قطعات ایکپ شده با تعداد پاس معین در دمای 400 درجه سانتی‌گراد

به 1027 مگاپاسکال رسید؛ این خواص به دست آمده برای نمونه اکستروژن شده در دمای 300 درجه سانتی‌گراد قابل مقایسه با خواص تیتانیم تجاری گردید 5 (با تنش تسلیم و تنش نهایی به ترتیب 795 و 860 مگاپاسکال و درصد ازدیاد طول 10% [34]) بود که امروزه در تولید ایمپلنت‌ها کاربرد دارد با این تفاوت که تیتانیم تجاری گردید 5 دارای عناصر ناخالصی مضر برای بدن انسان است. بنا به خواص مکانیکی به دست آمده برای نمونه‌های ایکپ و سپس اکستروژن شده در دماهای 350 و 400 درجه سلسیوس (جدول 3 مشاهده شد که این نمونه‌ها می‌توانند جایگزین خوبی برای تیتانیم تجاری گردید 5 باشند. بالاترین خواص مکانیکی به دست آمده از پژوهش با نتایج روش مشابه انجام شده در سایر مقالات مقایسه شد. به این ترتیب که ولادمیر و همکاران [11] با انجام ایکپ بر تیتانیم خالص تجاری در قالب 90 درجه در 8 پاس و در دمای 450 درجه سلسیوس و سپس با انجام اکستروژن سرد (معادل با کاهش سطح مقطع 75% یا رساندن قطر مقطع به نصف) تنها بر نمونه 8 پاس ایکپ شده موفق شدند تنش تسلیم و استحکام نهایی را به ترتیب از 380 و 460 مگاپاسکال به 970 و 1050 مگاپاسکال برسانند. درصد ازدیاد طول در جریان پژوهش ولادمیر از 28 به 8 درصد افت کرد. زانگ و همکاران [12] نیز پس از انجام ایکپ بر تیتانیم خالص تجاری در 5 پاس و در دمای 450 درجه سلسیوس و سپس با انجام اکستروژن سرد در دمای اتفاق (معادل با کاهش سطح مقطع 25.5%) تنها بر نمونه 5 پاس ایکپ شده توансند استحکام تسلیم را از 202 به 708 مگاپاسکال و استحکام نهایی را از 292 به 791 مگاپاسکال برسانند. در جریان پژوهش زانگ درصد ازدیاد طول از 44.5 به 19.7 درصد افت کرد. در این پژوهش میزان بهبود استحکام برای نمونه‌های ایکپ و سپس اکستروژن شده در دماهای 300، 350 و 400 بسیار بهتر از نتایج زانگ ولی مقداری پایین‌تر از نتایج ولادمیر بود آن هم به این دلیل بود که ولادمیر از اکستروژن سرد پس از ایکپ استفاده کرد بود که احتمال وقوع درشت‌دانگی و تبلور مجدد را نداشت، ضمن این‌که فشار هیدرواستاتیکی در کار او هم بالا بود. با این حال خواص مکانیکی نمونه ایکپ و سپس اکستروژن شده در دمای 300 درجه سانتی‌گراد بسیار نزدیک به نتایج ولادمیر بود با این مزیت که به دلیل گرم شدن اکستروژن در پژوهش حاضر میزان افت درصد ازدیاد طول نسبت به نمونه خام اولیه کمتر از نتایج ولادمیر بود. همان‌طور که گفته شد در پژوهش حاضر به دلیل استفاده از اکستروژن گرم این مزیت نیز وجود داشت که میزان افت درصد ازدیاد طول، کمتر از کار زانگ و ولادمیر بود؛ مشاهده شد که در نمونه ایکپ و سپس اکستروژن شده در دمای 400 درجه سلسیوس که دارای استحکام تسلیم و نهایی بالای مناسبی بود (به ترتیب 711 و 941 مگاپاسکال) و هم داشتن درصد ازدیاد طول مطلوبی مشاهده گردید که درصد ازدیاد طول نسبت به نمونه خام اولیه از 24 به 11.5 درصد افت کرد و این یعنی افتی معادل با 12.5% که در پژوهش ولادمیر و زانگ میزان این افت به ترتیب برابر با 20% و 24.8% بود؛ بنابراین افت درصد ازدیاد طول در پژوهش حاضر کمتر بود. مطابق جدول 3 خواص مکانیکی نمونه ایکپ و سپس اکستروژن شده در دمای 400 درجه سانتی‌گراد شامل تنش تسلیم 711 مگاپاسکال، تنش نهایی 941 مگاپاسکال و درصد ازدیاد طول 11.5% بود. این در حالی بود که برای نمونه اولیه‌ای که فقط بر آن اکستروژن گرم در دمای 400 درجه سانتی‌گراد انجام گرفت، تنش تسلیم برابر با 506 مگاپاسکال، تنش نهایی 695 مگاپاسکال و درصد ازدیاد طول 12.4 درصد به دست آمد. خواص مکانیکی نمونه اولیه بدون انجام هیچ فرآیند نیز در ردیف اول جدول 2 آورده شد که شامل تنش تسلیم 341 مگاپاسکال، تنش نهایی 505 مگاپاسکال و درصد ازدیاد طول 24% بود.

تصاویر میکروسکوپ نوری نمونه‌های اکستروژن شده در 5 دمای 300، 350، 400، 450 و 500 سانتی‌گراد در شکل 13 نشان داده شده است. همان‌طور که مشخص است ریزساختار نمونه‌ها تقریباً نزدیک به هم و ماده کاملاً فوق ریزدانه شده و این عامل دلیل دست‌یابی به خواص مکانیکی عالی در مقایسه با نمونه خام اولیه است. با بررسی دقیق‌تر تصاویر مشاهده شد که افزایش دما کمی سبب درشت‌تر شدن دانه‌ها و ناهمگنی ساختار شده است. افزایش دما

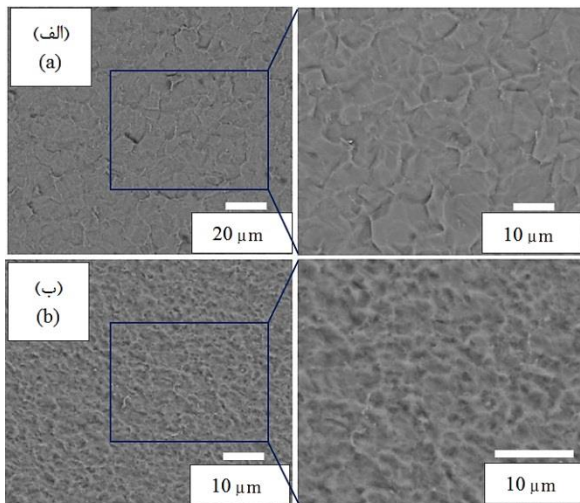


Fig. 12 SEM obtained photos from (a) initial as received sample and (b) 4 pass ECAP performed sample

شکل 12 تصاویر اس‌ای‌ام بدست‌آمده از الف- قطعه خام اولیه، ب- قطعه 4 پاس ایکپ شده

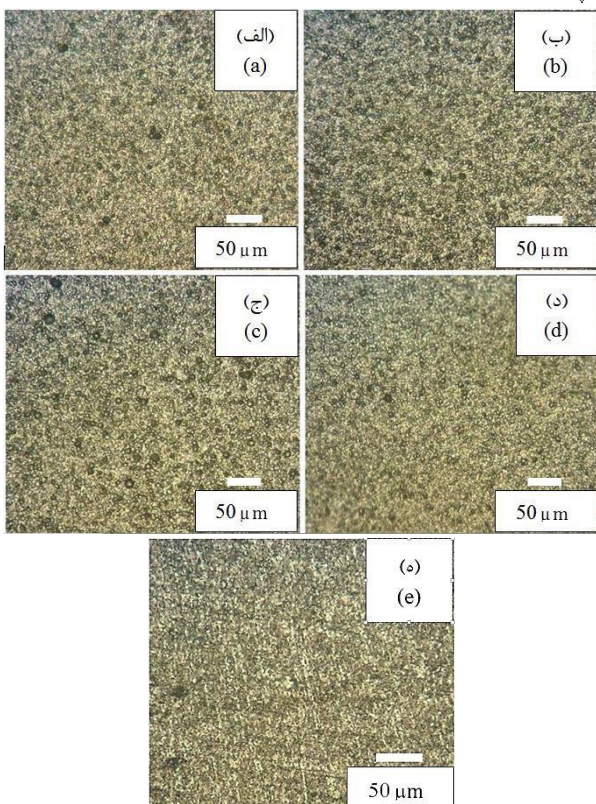
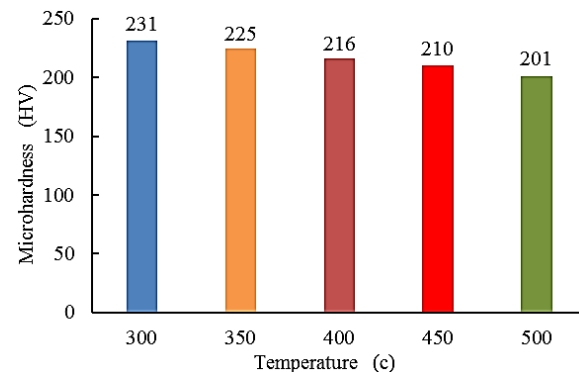


Fig. 13 Optical microscope photos of ECAPed and then hot Extrusion performed sample at temperature of (a) 300°C, (b) 350°C, (c) 400°C, (d) 450°C and (e) 500°C

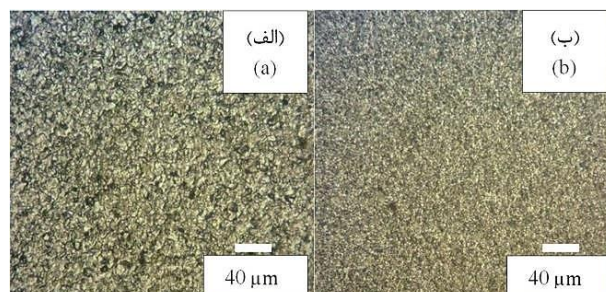
شکل 13 تصاویر میکروسکوپ نوری از قطعه ایکپ و سپس اکستروژن گرم شده در دمای الف- 500°C، ب- 450°C، ج- 400°C، د- 350°C، ه- 300°C



شکل 10 نمودار عدد سختی ویکرز برای قطعات ایکپ و اکستروژن گرم شده در دمای معین

اولیه و نمونه 4 پاس ایکپ شده در دمای 400 درجه سانتی‌گراد در مقطع برش داده شده در راستای عمود بر محور اکستروژن در شکل 11 نشان داده شده است. همان‌طور که از شکل مشخص است ریزساختار نمونه اولیه دارای دانه‌های درشت و ناهمگن است، اما ریزساختار ماده پس از انجام چهار پاس ایکپ تغییر کرده و ساختاری فوق ریزدانه و همگن به دست آمده است. تغییر در ریزساختار ماده سبب تغییر در خواص مکانیکی آن می‌شود و در نهایت همان‌طور که پیشتر نیز بیان شد استحکام ماده افزایش می‌یابد. بنا به پژوهش‌های صورت گرفته در ریزساختار قطعات ایکپ شده به مقدار زیادی دوقطبی¹ وجود دارد که دلیل آن کمبود سیستم‌های لغزش در فلزات با ساختار هگزاگونال متراکم² است [36]. در واقع دوقطبی نقشی اساسی در تغییر شکل فلز تیتانیم ایفا می‌کند.

تصاویر میکروسکوپ الکترونی روبشی یا اس‌ای‌ام³ نیز از ریزساختار نمونه‌های خام و 4 پاس ایکپ شده جهت بررسی دقیق‌تر ریزساختار نشان می‌دهد. شکل 12 ریزساختار هر دو نمونه را در دو بزرگنمایی مختلف نشان می‌دهد. همان‌طور که در این تصاویر نیز مشخص است نمونه خام اولیه ساختاری درشت‌دانه دارد. در واقع پس از انجام چهار پاس ایکپ چگالی نابهایی‌ها به دلیل اعمال کرنش‌های برشی شدید به شدت افزایش پیدا کرده و اندازه دانه‌ها سیار کوچک شده و همگنی بیشتری در مقایسه با نمونه خام پیدا کرده است.



شکل 11 تصاویر میکروسکوپ نوری از الف- قطعه خام اولیه، ب- قطعه 4 پاس ایکپ شده

¹ Twining

² HCP

³ SEM

تسلیم نمونه، نسبت به حالت خام اولیه، از 341 به 787 مگاپاسکال و تنش نهایی از 505 به 1027 مگاپاسکال رسید که این خواص قابل مقایسه با خواص تیتانیم تجاری گرید 5 بود، همچنین بنا به خواص مکانیکی به دست آمده برای نمونه های ایکپ و سپس اکستروژن شده در دمای 350 و 400 درجه سلسیوس مشاهده شد که این نمونه ها می توانند جایگزین خوبی برای تیتانیم تجاری گرید 5 باشند.

2- با افزایش دمای اکستروژن مقدار درصد ازدیاد طول افزایش و مقدار استحکام کاهش یافت، به طوری که ن اکستروژن شده در دمای 500 درجه سانتی گراد دارای بیشترین درصد ازدیاد طول (البته پس از نمونه خام اولیه) و کمترین استحکام در بین نمونه ها و نمونه اکستروژن شده در دمای 300 درجه سانتی گراد بیشترین استحکام تسلیم و نهایی و کمترین درصد ازدیاد طول را در سایر نمونه ها داشت.

3- پس از مقایسه بهترین خواص به دست آمده از پژوهش حاضر با نتایج تحقیقات پیشین مشاهده شد که در پژوهش حاضر در نمونه های ایکپ و سپس اکستروژن شده در دمای 300، 350 و 400 درجه سانتی گراد استحکام در حد مطلوبی افزایش پیدا کرده بود، ضمن این که میزان افت درصد ازدیاد طول کمتر از نتایج مطالعات پیشین بود؛ به طوری که در نمونه ایکپ و سپس اکستروژن شده در دمای 400 درجه سلسیوس که هم دارای استحکام تسلیم و استحکام نهایی بالای مناسبی بود (به ترتیب 711 و 941 مگاپاسکال) و هم درصد ازدیاد طول مطلوبی داشت. درصد افزایش طول نسبت به نمونه خام اولیه از 24% به 11.5% افت کرد و این یعنی افتی معادل با 12.5% و پژوهش ولادمیر و دانگ میزان این افت به ترتیب برابر با 20% و 24.8% بود؛ بنابراین افت درصد ازدیاد طول در پژوهش حاضر کمتر بود.

4- مقدار سختی نمونه پس از انجام فرآیند ترکیبی به اندازه قابل ملاحظه ای افزایش یافت، ولی سختی با افزایش دمای اکستروژن مقداری افت کرد که طوری که بیشترین مقدار سختی در ن ایکپ و سپس اکستروژن شده در دمای 300 درجه سانتی گراد و برابر با 231 ویکرز (182%) افزایش سختی نسبت به حالت خام اولیه) و کمترین مقدار سختی در نمونه ایکپ و سپس اکستروژن شده در دمای 500 درجه سانتی گراد و برابر با 201 ویکرز (145 درصد افزایش سختی نسبت به حالت خام اولیه) به دست آمد. این در حالی بود که سختی قطعه خام اولیه 81.85 ویکرز بود.

5- پس از بررسی تصاویر میکروسکوپ نوری و اس ای ام به دست آمده از ریزساختار نمونه ها مشاهده شد که پس از انجام فرآیند ایکپ ریزساختار نمونه تغییر پیدا کرد و ساختاری فوق ریزدانه و همگن به دست آمد، در حالی که در حالت خام اولیه درشت دانه و ناهمگن بود. تصاویر میکروسکوپ نوری نمونه های ایکپ و سپس اکستروژن شده در 5 دمای 300، 350، 400، 450 و 500 سانتی گراد گویای آن بود که ماده کاملاً فوق ریزدانه و نانو ساختار شده بود. همچنین افزایش دما کمی سبب درشت تر شدن دانه ها و ناهمگنی ساختار شده بود. مرزدانه های با زاویه کم در ریزساختار نمونه ها سهم بیشتری داشتند و در مجاورت مرزدانه های با زاویه زیاد قرار گرفته بودند.

5- مراجع

- [1] A. Jager, V. Gartnerova, K. Tesar, Microstructure and anisotropy of the mechanical properties in commercially pure titanium after equal channel angular pressing with back pressure at room temperature, *Materials Science and Engineering: A*, Vol. 644, pp. 114-120, 2015.
- [2] S. H. Hosseini, K. Abrinia, G. Faraji, Upper bound analyses of novel backward extrusion, *Modares Mechanical Engineering*, Vol. 14, No. 15, pp. 369-376, 2014. (in Persian)

سبب می شود که تبلور دوباره اتفاق افتاده و دانه هایی که پس از چهار پاس ایکپ اندازه آنها بهشدت کاهش یافته بودند، دوباره بازآرایی کرده و کمی درشت تر شوند. مرزدانه هایی با زاویه کم¹ در ریزساختار تیتانیم سهم بیشتری دارند و در مجاورت مرزدانه های بازآرایی زیاد² قرار گرفته اند. این ترکیب وجود مرزدانه های با زاویه های کم و زیاد در مطالعات گذشته بر نمونه هایی که تحت فرایندهای تغییر شکل پلاستیک شدید قرار گرفته بودند وجود داشته است [37]. در فلزات با ساختار هگزاگونال متراکم تغییر شکل دوقلویی نیز اتفاق می افتد، اما پهنه ای دوقلویی ها برای نمونه های اکستروژن شده در دمای مختلف با یکدیگر متفاوت است.

با افزایش دما تعداد سیستم های لغزشی فعال تر افزایش می یابد و شکل دهی راحت تر و با نیروی کمتری انجام می شود و در نتیجه پدیده دوقلویی کمتر اتفاق افتاده و پهنه ای آنها کوچک تر می شود. مطالعات گذشته نیز این اثر را نشان داده اند [38].

با توجه به آن که نمونه ایکپ و سپس اکستروژن شده در دمای 300 درجه سانتی گراد بهترین استحکام را در بین نمونه های اکستروژن شده در دمای مختلف داشت، تصاویر اس ای ام به منظور بررسی دقیق تر از این نمونه تهیه شد. شکل 14 تصویر ریزساختار به دست آمده از نمونه ایکپ و سپس اکستروژن شده در دمای 300 درجه سانتی گراد را نشان می دهد. نمونه دارای ساختاری همگن و بسیار ریزدانه و خواص عالی مکانیکی آن شامل خواص کششی و سختی مربوط به همین ریزساختار است. چنان چه بررسی های بیشتری بر ریزساختار مورد نیاز باشد می توان از تجهیزات ای بی اس دی³ و تی ای ام⁴ استفاده کرد.

4- نتیجه گیری

در پژوهش حاضر قطعات فوق ریزدانه و نانو ساختار تیتانیم خالص تجاري گرید 2 با استفاده از روش ترکیبی فشار در کانال زاویه دار مساوی (ایکپ) در دمای 400 درجه سانتی گراد و اکستروژن گرم در 5 دمای 300، 350، 400 و 500 سانتی گراد تولید شد، سپس میزان تغییر خواص مکانیکی و ریزساختاری نمونه ها مورد مطالعه قرار گرفت. برخی از نتایج مهمی که از این مطالعه به دست آمد عبارت بود از:

1- پس از انجام فرآیند ترکیبی بیان شده در این پژوهش مشاهده شد که در بهترین حالت بهبود استحکام با انجام 4 پاس ایکپ در دمای 400 درجه سلسیوس و سپس انجام اکستروژن گرم در دمای 300 درجه سلسیوس، تنش

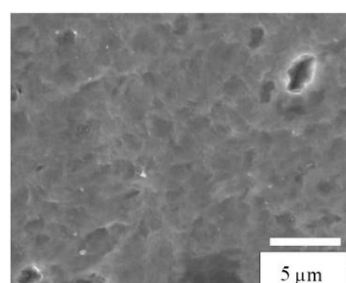


Fig. 14 SEM obtained photo from ECAPed and then hot Extrusion performed sample at 300°C

شکل 14 تصویر میکروسکوپ الکترونی به دست آمده از قطعه ایکپ و سپس اکستروژن گرم شده در دمای 300 درجه سانتی گراد

¹ Low angle grain boundaries

² High angle grain boundaries

³ EBSD

⁴ TEM

- [22] A. Jager, V. Gartnerova, K. Tesar, Microstructure and anisotropy of the mechanical properties in commercially pure titanium after equal channel angular pressing with back pressure at room temperature, *Materials Science and Engineering: A*, Vol. 644, pp. 114-120, 2015.
- [23] W. Pachla, M. Kulczyk, M. Sus-Ryszkowska, A. Mazur, K. J. Kurzydlowski, Nanocrystalline titanium produced by hydrostatic extrusion, *Materials Processing Technology*, Vol. 205, No. 1, pp. 173-182, 2008.
- [24] K. Topolski, H. Garbacz, W. Pachla, K. J. Kurzydlowski, Bulk nanostructured titanium fabricated by hydrostatic extrusion, *Physica Status Solidi (c)*, Vol. 7, No. 5, pp. 1391-1394, 2010.
- [25] Sh. Nikbakht, M. Eftekhari, Gh. Faraji, Study of Microstructure and mechanical properties of pure commercial titanium via combination of Equal channel angular pressing and Extrusion, *Modares Mechanical Engineering*, Vol. 17, No. 1, pp. 453-461, 2017. (in Persian)
فارسی
- [26] S. S. Dheda, F. A. Mohamed, Effect of initial microstructure on the processing of titanium using equal channel angular pressing, *Materials Science and Engineering: A*, Vol. 528, No. 28, pp. 8179-8186, 2011.
- [27] M. Shirooyeh, J. Xu, T.G. Langdon, Microhardness evolution and mechanical characteristics of commercial purity titanium processed by high-pressure torsion, *Materials Science and Engineering: A*, Vol. 614, pp.223-231, 2014.
- [28] A. V. Sergueeva, V. V. Stolyarov, R. Z. Valiev, A. K. Mukherjee, Advanced mechanical properties of pure titanium with ultrafine grained structure, *Scripta Materialia*, Vol. 45, No. 7, pp. 747-752, 2001.
- [29] M. P. Phaniraj, M. J. N. V. Prasad, A. H. Chokshi, Grain-size distribution effects in plastic flow and failure, *Materials Science and Engineering: A*, Vol. 463, No. 1-2, pp. 231-237, 2007.
- [30] H. Torabzadeh, G. Faraji, A review of the production of ultrafine grained and nanograined metals by applying severe plastic deformation, *Modares Mechanical Engineering*, Vol. 16, No. 6, pp. 271-282, 2016. (in Persian)
فارسی
- [31] Y. Xirong, Z. Xicheng, F. Wenjie, Deformed Microstructures and mechanical properties of CP-Ti processed by multi-pass ECAP at room temperature, *Rare Metal Materials and Engineering*, Vol. 38, No. 6, pp. 955-957, 2009.
- [32] D. Gunderov, A. Polyakov, I. Semenova, G. Raab, A. Churakova, E. Gimaldinova, Evolution of microstructure, macrotexture and mechanical properties of commercially pure Ti during ECAP-conform processing and drawing, *Materials Science and Engineering: A*, Vol. 562, pp. 128-136, 2013.
- [33] Y. Chen, Y. Li, J. Walmsley, S. Dumoulin, S. Gireesh, S. Armada, Quantitative analysis of grain refinement in titanium during equal channel angular pressing, *Scripta Materialia*, Vol. 64, No. 9, pp. 904-907, 2011.
- [34] K. Hajizadeh, B. Eghbali, K. Topolski, K. J. Kurzydlowski, Ultrafine grained bulk CP-Ti processed by multi-pass ECAP at warm deformation region, *Materials Chemistry and Physics*, Vol. 143, No. 3, pp. 1032-1038, 2014.
- [35] Y. Zhang, R.B. Figueiredo, S.N. Alhajeri, J.T. Wang, N. Gao, T.G. Langdon, Structure and mechanical properties of commercial purity titanium processed by ECAP at room temperature, *Materials Science and Engineering: A*, Vol. 528, No. 25, pp. 7708-7714, 2011.
- [36] D. H. Shin, I. Kim, J. Kim, Y.T. Zhu, Shear strain accommodation during severe plastic deformation of titanium using equal channel angular pressing, *Materials Science and Engineering: A*, Vol. 334, No. 1, pp. 239-245, 2002.
- [37] F. J. Humphreys, P. B. Prangnell, J. R. Bowen, A. Ghosh, C. Harris, Developing stable fine-grain microstructures by large strain deformation, *Philosophical Transactions of the Royal Society of London A: Mathematical, Physical and Engineering Sciences*, Vol. 357, No. 1756, pp. 1663-1681, 1999.
- [38] D. H. Shin, I. Kim, J. Kim, Y. S. Kim, S. L. Semiatin, Microstructure development during equal-channel angular pressing of titanium, *Acta Materialia*, Vol. 51, No. 4, pp. 983-996, 2003.
- [3] K. Abrinia, S. Orangi, Investigation of Process Parameters for the Backward Extrusion of Arbitrary-Shaped Tubes from Round Billets Using Finite Element Analysis, *Materials Engineering and Performance*, Vol. 18, No. 9, pp. 1201-1208, 2009.
- [4] H. Haghishat, P. Amjadian, A generalized velocity field for plane strain backward extrusion through punches of any shape, *Mechanica*, Vol. 48, No. 9, pp. 2099-2106, 2013.
- [5] A. Farhoumand, R. Ebrahimi, Analysis of forward-backward-radial extrusion process, *Materials & Design*, Vol. 30, No. 6, pp. 2152-2157, 2009.
- [6] W. B. Bae, D. Y. Yang, An upper-bound analysis of the backward extrusion of tubes of complicated internal shapes from round billets, *Materials Processing Technology*, Vol. 36, No. 2, pp. 157-173, 1993.
- [7] V. Shatermashhad, B. Manafi, K. Abrinia, G. Faraji, M. Sanei, Development of a novel method for the backward extrusion, *Materials & Design*, Vol. 62, pp. 361-366, 2014.
- [8] N. Pardis, B. Talebanpour, R. Ebrahimi, S. Zomorodian, Cyclic expansion-extrusion (CEE): A modified counterpart of cyclic extrusion-compression (CEC), *Materials Science and Engineering*, Vol. 528, No. 25, pp. 7537-7540, 2011.
- [9] P. S. Roodposhti, N. Farahbakhsh, A. Sarkar, K. L. Murty, Microstructural approach to equal channel angular processing of commercially pure titanium—A review, *Transactions of Nonferrous Metals Society of China*, Vol. 25, No. 5, pp. 1353-1366, 2015.
- [10] Y. Iwahashi, Z. Horita, M. Nemoto, T.G. Langdon, An investigation of microstructural evolution during equal-channel angular pressing, *Acta Materialia*, Vol. 45, No. 11, pp. 4733-4741, 1997.
- [11] V. V. Stolyarov, Y. T. Zhu, T. C. Lowe, R. Z. Valiev, Microstructure and properties of pure Ti processed by ECAP and cold extrusion, *Materials Science and Engineering*, Vol. 303, No. 1, pp. 82-89, 2001.
- [12] D. H. Kang, T. W. Kim, Mechanical behavior and microstructural evolution of commercially pure titanium in enhanced multi-pass equal channel angular pressing and cold extrusion, *Materials & Design*, Vol. 31, pp. S54-S60, 2010.
- [13] G. Raab, E. Soshnikova, R. Valiev, Influence of temperature and hydrostatic pressure during equal-channel angular pressing on the microstructure of commercial-purity Ti, *Materials Science and Engineering*, Vol. 387, pp. 674-677, 2004.
- [14] S. Semiatin, D. DeLo, V. Segal, R. Goforth, N. Frey, Workability of commercial-purity titanium and 4340 steel during equal channel angular extrusion at cold-working temperatures, *Metallurgical and Materials Transactions A*, Vol. 30, No. 5, pp. 1425-1435, 1999.
- [15] V. V. Stolyarov, Y. T. Zhu, I. V. Alexandrov, T. C. Lowe, R. Z. Valiev, Grain refinement and properties of pure Ti processed by warm ECAP and cold rolling, *Materials Science and Engineering: A*, Vol. 343, No. 1, pp. 43-50, 2003.
- [16] P. Luo, D. McDonald, W. Xu, S. Palanisamy, M. Dargusch, K. Xia, A modified Hall-Petch relationship in ultrafine-grained titanium recycled from chips by equal channel angular pressing, *Scripta Materialia*, Vol. 66, No. 10, pp. 785-788, 2012.
- [17] P. Luo, D. McDonald, S. M. Zhu, S. Palanisamy, M. Dargusch, K. Xia, Analysis of microstructure and strengthening in pure titanium recycled from machining chips by equal channel angular pressing using electron backscatter diffraction, *Materials Science and Engineering: A*, Vol. 538, pp. 252-258, 2012.
- [18] R. Y. Lapovok, The role of back-pressure in equal channel angular extrusion, *Materials Science*, Vol. 40, No. 2, pp. 341-346, 2005.
- [19] I. H. Son, J. H. Lee, Y. T. Im, Finite element investigation of equal channel angular extrusion with back pressure, *Materials Processing Technology*, Vol. 171, No. 3, pp. 480-487, 2006.
- [20] X. Zhao, X. Yang, X. Liu, X. Wang, T. G. Langdon, The processing of pure titanium through multiple passes of ECAP at room temperature, *Materials Science and Engineering: A*, Vol. 527, No. 23, pp. 6335-6339, 2010.
- [21] X. Zhao, X. Yang, X. Liu, C. T. Wang, Y. Huang, T. G. Langdon, Processing of commercial purity titanium by ECAP using a 90 degrees die at room temperature, *Materials Science and Engineering: A*, Vol. 607, pp. 482-489, 2014.